

Relationship of Follicular Size with Dimensions of Genital System of Female Iraqi Buffaloes

Maher Abbas H. Al Mamory^a

Hashim M. Al-Rubaei^b

^{a,b} Al-Musaib Technical College, Al-Furat Al-Awsat Technical University, 51009 Babylon , Iraq

drhashem48@yahoo.com

Submission date:- 20/1/2019

Acceptance date:- 17/2/2019

Publication date:- 25/5/2019

Keywords: buffaloes, follicle, ovary, ovarian tube, ovarian horn .

Abstract

The present study has been conducted at laboratories of department of animal production techniques, AI-Musaib Technical College during the period extended from march 2014 to march 2015 to determine relationship of follicular size with dimensions of genital system of female Iraqi buffaloes. One hundred and twenty genital system of adults non- pregnant buffaloes slaughtered at abattoirs of Babylon province were collected at the time of slaughter and transported to the laboratory within 2 hours. The. A total of 240 ovaries were removed and collected. The diameter of the ovarian follicles were measured, divided into three categories, small (2-5 mm), medium (6-10 mm) and large (11-20 mm) . The results showed that the ovaries in local buffaloes appear as oval , light pinkish , firmed consistency and smooth. A significant increased ($P <0.05$) in the dimensions of right and left ovaries (length, width and thickness) in the genital system which their ovaries contained large and medium follicles compared with that contained small follicles. A significant increased ($P <0.05$) was observed in length of right and left of ovarian tube in the genital system which their ovaries contained large and medium follicles compared with that contained small follicles. The result of study also showed that significant increased ($P <0.05$) in length and diameters of body and cervix of uterus and right and left of uterine horns in the genital system which their ovaries contained large and medium follicles compared with that contained small follicles. We conclude from this study that changing the size of follicle from small to large has a significant effect on the dimensions of the genital system of females Iraqi buffaloes.

علاقة حجم الجريبة (Follicle) بأبعاد الجهاز التناسلي لإناث الجاموس العراقي

ماهر عباس حسين* هاشم مهدي الريبيعي**

*،**الكلية التقنية، المسبب ، جامعة الفرات الأوسط التقنية – 51009 بابل ، العراق

drhashem48@yahoo.com

الخلاصة

أجريت الدراسة الحالية في قسم تقنيات الانتاج الحيواني/ الكلية التقنية - المسبب لمدة من آذار 2014 الى آذار 2015 لتقدير علاقة حجم الجريبة بأبعاد الجهاز التناسلي لأناث الجاموس المحلي. جمع 120 جهازاً تناسلياً لأناث جاموس البالغة وغير الحامل من مجازر محافظة بابل بعد الذبح مباشرة ، ونقلت الى المختبر في ساعتين. شرحت القناة التناسلية وعزلت وقيست ابعاد الاعضاء المكونة لها. أزيلت وجمعت المبايض التي بلغ عددها 240 مبيضاً. قيست وقسمت الجريبات إلى ثلاثة مجاميع صغيرة (2-6-11 ملم) ومتوسطة (6-10-20 ملم) وكبيرة (20-22 ملم). بينت نتائج الدراسة أن شكل المبايض في العينات المدروسة كان بيضويًا (oval) وذا لون وردي باهت وتركيب قوي وناعم الملمس. لوحظ زيادة معنوية ($P<0.05$) بأبعاد المبايض الأيمن والأيسر(الطول والعرض والسمك) للجهاز التناسلي التي تحتوي مبايضاً على جريبات كبيرة ومتوسطة مقارنة مع المبايض التي تحتوي على جريبات صغيرة، وأوضحت النتائج زيادة معنوية ($P<0.05$) في طول قناة البيض اليمنى واليسرى للجهاز

التناسلي التي تحتوي مبایضها على جریبات كبيرة ومتوسطة مقارنة مع المبایض التي تحتوي على الجریبات الصغيرة . بینت نتائج الدراسة أيضاً ارتفاعاً معنوياً ($P<0.05$) في طول وقطر عنق الرحم وجسمه ، وقرن الرحم الأيمن والأيسر للجهاز التناسلي التي تحتوي مبایضها على جریبات كبيرة ومتوسطة مقارنة مع المبایض التي تحتوي على الجریبات الصغيرة. تستنتج من هذه الدراسة أن التغير بحجم الجریبة من الصغيرة إلى الكبيرة في المبایض له تأثير معنوي في أبعد الجهاز التناسلي لأنثى الجاموس المحلي.

الكلمات الدالة: الجاموس، التجربة، المبایض، قناة البیض، قرن الرحم.

المقدمة

يعاني الجاموس من أداء تکاثري منخفض مع مشاکل تناسلية متصلة مثل علامات الشبق الصامت وعدم الشبق الموسمي وتأخر البلوغ الجنسي وتتأخر الولادة الأولى وتتأخر الحمل بعد الولادة وطول الفترة بين الولادتين [1]. أن الأهتمام والنهوض بوسائل التربية والتکاثر من أجل تطوير هذه الثروة ورفع مستوى الأداء التناسلي عن طريق تطبيق برامج الفنادن التناسلية الحديثة ومنها توحيد الشبق وفرط الإباضة والتلقيح الاصطناعي [2]، وللعمل بهذه التقانات لابد من معرفة القياسات الحيوية للأعضاء التناسلية لأنها ضرورية لأداء التلقيح الاصطناعي والتعامل مع مشاکل الخصوبة وحلها [3]. يعتمد الأداء التناسلي على التركيب الطبيعي والوظيفي للأعضاء التناسلية للحيوان [4]. أن الصفات الشكلية القياسية للأعضاء التناسلية مهمة لتسليط الضوء على التغيير الذي يحدث في تركيب المبایض المسؤول عن تحرير البيوض وعملية تكثين وإفراز الهرمونات الشحمية (steroids) من التجربة [5]. يرتبط حجم التجربة بتطور حجم البويضة ويعود كصفة لاختيار البويضة ذات النوعية الجيدة [6] ، فضلاً عن ذلك وجود علاقة موجبة بين حجم التجربة والتغيرات الشكلية والوظيفية للجهاز التناسلي [7]. تهدف الدراسة الحالية لوضع بيانات أو معلومات أساسية للأبعاد والتراكيب التشريحية الطبيعية للأعضاء التناسلية للجاموس المحلي وعلاقة حجم التجربة بالتغييرات الشكلية والوظيفية للجهاز التناسلي .

المواد وطرق العمل

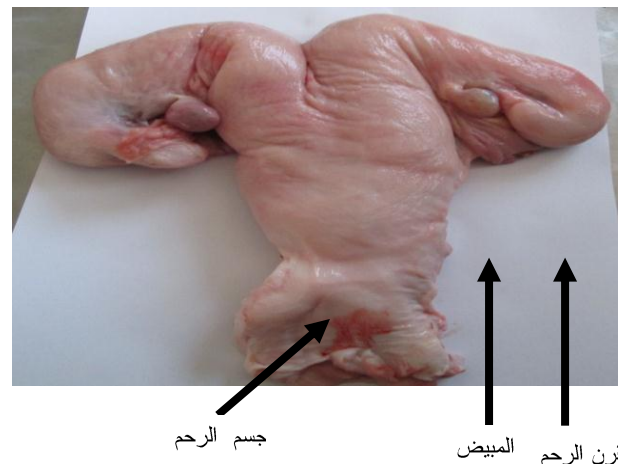
أُنجزت الدراسة في مختبرات قسم تقنيات الإنتاج الحيواني في الكلية التقنية/المسبب لمدة من آذار 2014 إلى آذار 2015 ، أُزيلت وجمعت القناة التناسلية من 120 أنثى جاموس غير حامل والتي ثُبّتت في مجازر محافظة بابل وكانت حالة سلية من الناحية الصحية قبل الذبح ، وُفحصت القناة التناسلية عيانياً وكانت طبيعية وخالية من التشوّهات الخلقية (صورة ١).

جمع الجهاز التناسلي وفياس أبعاده

جمعت الأجهزة التناسلية الأنوثية بعد الذبح مباشرةً ووضُعت في حقيبة بلاستيكية تحتوي على محلول الملح الفسلجي الطبيعي بتتركيز 0.9% normal physiological saline(0.9% NaCl) ، ووضُعت الاكياس في صندوق مبرد ونقلت إلى المختبر خلال ساعتين. غُسلت القناة التناسلية بمحلول الملح الفسلجي الطبيعي المبرد وترك لتجف، أُزيلت الأنسجة العالقة والرباط العريض ، وأُزيلت وجمعت المبایض (240 مبایضاً) من 120 قناة تناسلية بواسطة مقص وملقط معقم للدراسة اللاحقة ، ووضُعت القناة التناسلية على منضدة في الوضع الطبيعي ، وقيس قناة البیض وذلك بقطعها بواسطة المقص الجراحي من الاتصال الرحمي - الانبوي وفصلت على طول امتدادها من الرباط العريض وأُزيلت الألتوات والأنسجة الرابطة والزائدة ووضُعت على سطح مستوى بجانب شريط لقياس طولها من قمة القمع (Infundibulum) إلى الاتصال الرحمي - الانبوي ، وقيس قطر القناة بواسطة القدمة من ثلاثة مناطق مختلفة وهي قرب المبایض في منطقة القمع والمنطقة الوسطية للقناة في منطقة الامبولا (Ampulla) ، والمنطقة قرب الرحم في منطقة البربخ (Isthmus) (صورة ٢) [٨] ، ولغرض قياس طول جسم الرحم أُفتتحت المنطقة الظهرية له ليبيان الفتاحة الداخلية لعنق الرحم (Os enternum) وبداية تشعب قرنى الرحم (bifurcation) ، ووضُعت القدمة بين الفتاحة الداخلية لعنق الرحم وبداية التشعب (صورة ٣)، وقيس قطره بوضع القدمة على محيط الجزء الوسطي لجسم الرحم (صورة ٤) ، وقيس طول عنق الرحم بعمل فتحة في المنطقة الظهرية لعنق الرحم وذلك لعرض فتحات وحلقات عنق الرحم ، ووضُعت القدمة بين الحلقة الأولى للفتحة الخلرجية لعنق الرحم (Os externum) والحلقة الأخيرة لعنق الرحم او الفتاحة الداخلية (صورة ٥) ، وقيس ايضاً قطرها بوضع القدمة على محيط الجزء الوسطي لها ، وقيس طول وقرن الرحم بوضع خيط نابلون من وسط نقطة التشعب لقرنى الرحم الى نقطة الاتصال الرحمي - الانبوي (صورة ٦) ، ووضع الخيط بجانب مسطرة قياس لبيان طول قرن الرحم وقيس قطرة بوضع القدمة في محيط منتصف الجزء الوسطي.



صورة ٢ : قياس طول قناة البيض



صورة ١ : الجهاز التناسلي للجاموس المحلي



صورة ٤ : قياس قطر عنق الرحم



صورة ٣ : قياس طول جسم الرحم



صورة ٦ : قياس طول قرن الرحم



صورة ٥ : قياس طول عنق الرحم

أزيلت المبايض من ارتباطها مع الاربطة المبيضية في القناة التناسلية ، ونُففت من الانسجة العالقة والاربطة ، وغُسلت بالمحلول الملحي الفسلجي المبرد ووضعت على اوراق الترشيح لتجفيفها ، وقياس طولها من جانب منطقة القطع مع الاربطة المبيضية او طول المساحة بين النهاية الامامية والخلفية (صورة ٧)، وعرضها من اعرض منطقة او خط خارج من على خط الطول ، وسمكها من السطح الظاهري الى السطح البطني ، وقيست جريبات كل مبيض بواسطة القدماء وصنفت الجريبات طبقاً لهذه القياسات إلى ثلاثة مجاميع صغيرة ذات قطر (2-5 ملم) ومتوسطة ذات قطر(6-10 ملم) وكبيرة ذات قطر (11-20 ملم) (صورة ٨) [9].



صورة ٨ : قياس قطر الجريبه



صورة ٧ : قياس طول المبيض

التحليل الاحصائي Statistical Analysis

استعمل التصميم العشوائي الكامل (CRD) لدراسة تأثير العوامل المختلفة (الموقع او الحجم) في الصفات المدروسة، وقورنت الفروق المعنوية بين المتوسطات باختبار (10) متعدد الحدود، واستعمل البرنامج SAS [11] في التحليل الإحصائي

النتائج والمناقشة

بيّنت نتائج الدراسة الحالية ان المبايض في الجاموس المحلي ذات شكل بيضوي (oval) ولونها وردي باهت وذات تركيب قوي وناعمة الملمس (صورة ٩) وهذه النتائج تتفق مع [4] و [5] و [12] و [13]. ان شكل المبايض غير ثابت ويتغير تركيبه ارتباطاً مع تطور ونمو الجريبة وتكتسها (degradation) والاباضة وكبر واحتقاء الجسم الاصفر [14].



صورة (9) شكل المبيض

تبين نتائج الجدول 1 ارتفاعاً معنوياً ($P<0.05$) في طول المبيض الأيمن للقناة التناسلية التي تحتوي مبايضها على الجريبات المتوسطة والكبيرة وبلغ 24.30 ± 1.77 ملم بالتناسب عن طول المبيض الأيمن للقناة التناسلية التي تحتوي مبايضها على الجريبات الصغيرة وبلغ 27.67 ± 2.42 ملم ، وبين الجدول أيضاً ارتفاعاً معنوياً ($P<0.05$) في طول المبيض الأيسر للقناة التناسلية التي تحتوي مبايضها على الجريبات المتوسطة والكبيرة وبلغت 4.62 ± 1.45 ملم بالتناسب مقارنة مع طول المبيض الأيسر للقناة التناسلية التي تحتوي مبايضها على الجريبات الصغيرة وبلغ 4.30 ± 1.45 ملم ، وبين عرض المبيض الأيمن ارتفاعاً معنوياً ($P<0.05$) للقناة التناسلية التي تحتوي مبايضها على الجريبات المتوسطة والكبيرة وبلغ 16.00 ± 1.64 ملم ، وبين عرض المبيض الأيسر ارتفاعاً معنوياً ($P<0.05$) للقناة التناسلية التي تحتوي مبايضها على الجريبات الصغيرة وبلغ 16.60 ± 1.29 ملم وكذلك بين الجدول ارتفاعاً معنوياً في عرض المبيض الأيسر للقناة التناسلية التي تحتوي مبايضها على الجريبات المتوسطة والكبيرة وبلغ 16.56 ± 1.52 ملم بالتناسب . ان تفوق طول المبيض مع كبر حجم الجريبة ربما يعود الى زيادة وكبر حجم الجريبة وتطورها ، إذ ان مبيض الجاموس يملك عدداً قليلاً من الجريبات الابتدائية (Primordial follicles) في بداية دورة الشبق وفي اليوم العاشر منها [15] ، وأن وجود عدد قليل من الجريبات الاولية وقلة تجدد وتجمّع الجريبات في اليوم العاشر من دورة الشبق ربما السبب في قلّة افراز هرمون المودق

مع استمرار زيادة عدد الجريبات وكبار حجمها وزيادة افرازها ومن ثم الانفصال التدريجي لنركيز هرمون المودع الذي يدور على نمو وتطور خلايا النسيج المبيضي ويزداد حجمها ونضجها وهذه النتائج تتفق مع ما توصل إليه [7] و [15] و [16] و [17]. إن معدل أبعاد المبيضين الثلاثة في الجاموس تتفق مع ما توصل إليه [4] و [13] و [18] و [19].

جدول ١. المتوسط ± الخطأ القياسي للمبيضين اليمين والأيسر باختلاف حجم الجريبية في الجاموس المحلي

المتوسط ± الخطأ القياسي			قياسات المبيض	المبيض
جريبة كبيرة (20-11 ملم)	جريبة متوسطة (10-6 ملم)	جريبة صغيرة (5-2 ملم)		
A 2.42 ±27.67	A 1.77±24.30	B 1.91±22.40	الطول	اليمين
A 1.47 ±16.10	A 1.65 ±15.44	B 0.81 ±13.40	العرض	
A 1.73 ±14.22	A 1.42 ±13.60	A 0.73 ±12.20	السمك	
A 4.62 ±26.33	A 1.45±26.30	B 1.64 ±22.00	الطول	الأيسر
A 1.52 ±16.56	A 1.29±16.60	B 0.74 ±13.60	العرض	
A 1.02±14.11	A 0.92±13.60	A 0.71 ±13.00	السمك	

المتوسطات التي تحمل حروفًا مختلفة ضمن الصفة الواحد تختلف معنويًا ($P<0.05$) كما لوحظ خلال هذه الدراسة عدم وجود فرق معنوي عند المقارنة بين المبيض اليمين والأيسر في كل من الطول والعرض والسمك (الجدول ٢)، تتفق هذه النتائج مع [5] و [13] و [19] و [20].

الجدول ٢. المتوسط ± الخطأ القياسي للطول والعرض والسمك للمبيضين اليمين والأيسر في الجاموس المحلي

المتوسط ± الخطأ القياسي		المبيض
المبيض اليمين	المبيض الأيسر	
		أبعاد المبيض/سم
A 1.21 ± 22.80	A 0.87 ± 23.12	الطول
A 0.58 ± 14.53	A 0.600 ± 13.97	العرض
A 0.43 ± 12.68	A 0.57 ± 12.75	السمك

المتوسطات التي تحمل حروفًا مختلفة ضمن الصفة الواحد لا تختلف معنويًا ($P>0.05$)

تبين نتائج الجدول ٣ ارتفاعاً معنوياً ($P<0.05$) في طول قناة البியض اليمنى للقناة التنايسية التي تحتوى مباضتها على الجريبات المتوسطة والكبيرة وبلغ 1.35 ± 24.80 سم وبلغ 1.53 ± 25.00 سم بالتابع مقارنة مع طول قناة البىيض اليمنى للقناة التنايسية التي تحتوى مباضتها على الجريبات الصغيرة وبلغ 1.39 ± 19.20 سم، وبين الجدول ارتفاعاً معنوياً في طول قناة البىيض اليسرى للقناة التنايسية التي تحتوى مباضتها على الجريبات المتوسطة والكبيرة وبلغ 2.13 ± 19.40 سم، بينما لم يكن هناك اختلاف معنوي في قطر قناة البىيض اليمنى واليسرى قرب المبيض والرحم والوسطى بأختلاف حجم الجريبية. ان الزيادة المعنوية في طول قناة البىيض مع كبر حجم الجريبية ربما يعزى الى الزيادة التصاعدية في افراز هرمون المودع مع زيادة حجم الجريبية ، اذ يؤثر هذا الهرمون في خلايا الطبقة الخارجية والتى تتألف من الانسجة الرابطة والطبقة الوسطى والتى تتألف من الايلايف العضليـة ، اذ يزيد من عائتها وافرازها ومن ثم يزيد سماكة [21] ، وكذلك يؤثر في خلايا الطبقة الداخلية والتى تتألف من الخلايا الطلائية الافرازية والمهدبة ويزيد من افرازها من الماء والشوارد والخماز [22]. تتفق هذه نتائج مع ما وجده [21] و [23] في الجاموس وتتفق مع ما وجده [24] و [25] في الابقار وتتفق مع ما وجده [26] و [27] في الماعز وفي الاغنام تتفق مع ما وجده (28).

جدول ٣. المتوسط ± الخطأ القياسي لقناة البهض الرحمية اليمني واليسرى باختلاف حجم الجريبة في الجاموس المحلي

المتوسط ± الخطأ القياسي			قياسات قناة البهض	قناة البهض
جريبة كبيرة (20-11 ملم)	جريبة متوسطة (10-6 ملم)	جريبة صغيرة (5-2 ملم)		
A 1.53±25.00	A 1.35±24.80	B 1.39±19.20	الطول/سم	اليمني
A 0.26 ±4.00	A 0.32 ±4.20	A 0.71 ±4.00	قرب المبيض	
A 0.16 ±2.25	A 0.15 ±2.30	A 0.32 ±2.00	الوسطي	
A 0.27 ±3.06	A 0.31 ±4.10	A 0.54 ±3.00	قرب الرحم	
A 1.87±25.37	A 0.77±24.50	B 2.13±19.40	الطول/سم	اليسرى
A 0.19 ±3.50	A 0.40 ±4.40	A 0.40 ±3.60	قرب المبيض	
A 0.00 ±2.00	A 0.16 ±2.40	A 0.00 ±2.00	الوسطي	
A 0.19 ±3.00	A 0.27 ±3.60	A 0.37 ±3.20	قرب الرحم	

المتوسطات التي تحمل حروفًا مختلفة ضمن الصنف الواحد تختلف معنوياً ($P<0.05$) ولم تبين نتائج هذه الدراسة أي فرق معنوي عند المقارنة بين قناة البهض اليمني واليسرى فـي كل من الطــول والأقطار المختلفة (الجدول ٤). تتفق هذه النتائج مع ما توصل إليه [13].

جدول ٤. المتوسط ± الخطأ القياسي لطول والأقطار المختلفة لقناة البهض الرحمية اليمني واليسرى في الجاموس المحلي

المتوسط ± الخطأ القياسي		قياسات قناة البهض	قناة البهض
قناة البهض اليمنى	قناة البهض اليسرى		
A 0.72 ± 21.17	A 0.73 ± 21.43	الطول/سم	اليمني
0.16A ± 3.91	A 0.15 ± 4.10	قرب المبيض	
A 0.05 ± 2.13	A 0.08 ± 2.24	الوسطي	
A 0.11 ± 3.35	A 0.15 ± 3.60	قرب الرحم	

المتوسطات التي تحمل حروفًا مختلفة ضمن الصنف الواحد تختلف معنويًا ($P<0.05$)

يتضح من نتائج الجدول ٥ أرتفاعاً معنويًا ($P<0.05$) في طول جسم الرحم للقناة التناسلية التي تحتوي مبايضها على الجريبات المتوسطة والكبيرة وبلغ 1.47 ± 8.90 سم بالتابع مقارنة مع طول جسم الرحم للقناة التناسلية التي تحتوي مبايضها على الجريبات الصغيرة وبلغ 1.12 ± 6.40 سم، بينما بين قطر جسم الرحم انخفاضاً معنويًا ($P<0.05$) للقناة التناسلية التي تحتوي مبايضها على الجريبات الصغيرة وبلغ 0.48 ± 2.00 سم مقارنة مع قطر جسم الرحم للقناة التناسلية التي تحتوي مبايضها على الجريبات المتوسطة والكبيرة وبلغ 0.11 ± 3.02 سم بالتابع وبينت نتائج الجدول أيضًا ارتفاعاً معنويًا في طول عنق الرحم للقناة التناسلية التي تحتوي مبايضها على الجريبات المتوسطة والكبيرة وبلغ 0.60 ± 7.25 و 0.90 ± 8.75 سم بالتابع مقارنة مع طول عنق الرحم للقناة التناسلية التي تحتوي مبايضها على الجريبات الصغيرة وبلغ 0.75 ± 5.04 سم ، وبين الجدول ارتفاعاً معنويًا ($P<0.05$) في قطر عنق الرحم للقناة التناسلية التي تحتوي مبايضها على الجريبات المتوسطة والكبيرة وبلغ 0.27 ± 2.60 و 0.93 ± 3.10 سم بالتابع مقارنة مع قطر عنق الرحم للقناة التناسلية التي تحتوي مبايضها على الجريبات الصغيرة وبلغ 0.56 ± 1.94 سم. إن الارتفاع المعنوي في طول وقطر جسم وعنق الرحم مع زيادة حجم الجريبة تتجه مع الزيادة الهرمونية في هرمون المودق مع كبر حجم الجريبة ، إذ يؤثر في خلايا الانسجة الرابطة والالياف العضلية ويزيد من توسيع الاوعية الدموية وزيادة ورود الدم ومن ثم يزيد من سمكها [٢٩] ، ويؤثر أيضًا في الخلايا الطلائية الافرازية ويزيد من افرازها من الماء والشوارد [٣٠] ، وكذلك يؤثر تأثيراً واضحاً في عنق الرحم، إذ يحوله إلى غشاء ناضج ومحقق مليء بالاقرازات والماء والمخاط [٣١] ، هذه النتائج تتفق مع [32] و [33] في الجاموس [34] و [35] في الابقار و [36] في الماعز و [6] و [37] في الاغنام.

جدول ٥. المتوسط ± الخطأ القياسي لجسم عنق الرحم باختلاف حجم الجريبية في الجاموس المحلي

المتوسط ± الخطأ القياسي			القياسات / سم	العضو
جريبة كبيرة (11-20 ملم)	جريبة متوسطة (6-10 ملم)	جريبة صغيرة (2-5 ملم)		
A 1.07±11.12	A 1.47±8.90	B 1.12 ±6.40	الطول	جسم الرحم
A 0.38±3.25	A 0.11±3.02	B 0.48±2.00	القطر	
A 0.90 ±8.75	A 0.60 ±7.25	B 0.75 ±5.04	الطول	عنق الرحم
A 0.39±3.10	A 0.27±2.60	B 0.56±1.94	القطر	

المتوسطات التي تحمل حروفًا مختلفة ضمن الصفة الواحد تختلف معنويًا (P<0.05)

تبين نتائج الجدول ٦ ارتفاعاً معنويًا (P) في طول قرن الرحم الأيمن للقناة التناسلية التي تحتوي مباضتها على الجريبات المتوسطة والكبيرة وبلغ 2.02 ± 26.13 سم بالتناسب مقارنة مع طول قرن الرحم الأيمن للقناة التناسلية التي تحتوي مباضتها على الجريبات الصغيرة وبلغ 0.08 ± 18.16 سم ، بينما بين قطر الرحم الأيمن انخفاضاً معنويًا (P<0.05) للقناة التناسلية التي تحتوي مباضتها على الجريبات الصغيرة وبلغ 0.33 ± 1.60 سم مقارنة مع قطر قرن الرحم الأيمن للقناة التناسلية التي تحتوي مباضتها على الجريبات المتوسطة والكبيرة وبلغ 1.23 ± 3.13 سم بالتناسب وبين الجدول أيضًا ارتفاعاً معنويًا (P<0.05) في طول قرن الرحم الأيسر للقناة التناسلية التي تحتوي مباضتها على الجريبات المتوسطة والكبيرة وبلغ 3.03 ± 26.88 سم بالتناسب مقارنة مع طول قرن الرحم الأيسر للقناة التناسلية التي تحتوي مباضتها على الجريبات الصغيرة وبلغ 1.02 ± 19.07 سم ، وبين قطر قرن الرحم الأيسر ارتفاعاً معنويًا (P<0.05) للقناة التناسلية التي تحتوي مباضتها على الجريبات المتوسطة والكبيرة وبلغ 1.24 ± 2.97 سم بالتناسب مقارنة مع قطر قرن الرحم الأيسر للقناة التناسلية التي تحتوي مباضتها على الجريبات الصغيرة وبلغ 1.76 ± 3.26 سم بالتناسب مقارنة مع قطر قرن الرحم الأيسر للقناة التناسلية التي تحتوي مباضتها على الجريبات الصغيرة وبلغ 0.43 ± 1.75 سم. ان زيادة طول وقطر قرن الرحم الأيمن والأيسر المعنوي مع زيادة حجم الجريبية قد يعزى إلى زيادة إفراز هرمون المودق مع كبر حجم الجريبية ، اذ تؤثر هذه الزيادة في خلايا الأنسجة الرابطة والإلياف العضلية في عضلات الرحم وتزيد وعائتها وحجمها ونضجها [٣٨] ، وكذلك يؤثر هرمون المودق في غشاء بطانة الرحم ويجعله إلى غشاء ناضج محظوظ ملي بالافرازات والماء [٢٢] ، وتفق هذه النتائج مع [٣١] و [٣٩] في الجاموس وفي الابقار [٢٤] و [٤٠] وفي الماعز [٢٦] و [٢٧] وفي الاغنام [٣٧] و [٤١].

جدول ٦. المتوسط ± الخطأ القياسي لنقري الرحم باختلاف حجم الجريبية في الجاموس المحلي

المتوسط ± الخطأ القياسي			قياسات / سم	العضو
جريبة كبيرة (11-20 ملم)	جريبة متوسطة (6-10 ملم)	جريبة صغيرة (2-5 ملم)		
A 3.00±27.33	A 2.02±26.13	B 0.08 ±18.16	الطول	نقطة النهاية الجهادية
A 1.23±3.13	A 1.02±2.81	B 0.33±1.60	القطر	
A 3.78±27.87	A 3.03±26.88	B 1.02 ±19.07	الطول	نقطة النهاية الجهادية
A 1.76±3.26	A 1.24±2.97	B 0.43±1.75	القطر	

المتوسطات التي تحمل حروفًا مختلفة ضمن الصفة الواحد تختلف معنويًا (P<0.05)

نستنتج من هذه الدراسة أن التغير بحجم الجريبية من الصغيرة إلى الكبيرة في المبيض له تأثير معنوي في أبعاد الجهاز التناسلي لأنثى الجاموس المحلي.

CONFLICT OF INTERESTS

There are no conflicts of interest.

المصادر

- [1] Nandi, S., Ravindranatha,B.M., Gupta,p.s.p. and Sarma,P.V. Timing of sequential changes in cumulus cells and first polar body extrusion during *in vitro* maturation of buffalo oocytes. *Theriogenology* ,57:1151-1159. 2002 .
- [2] Kor, N . M ., Khanghah ,K . M .and Veisi , A . Efficiency of short time protocols based on combined FGA,PGF2 α , GnRH and eCG treatments on oestrus synchronization and reproductive performance of Kermani ewes during the breeding season.*Int J Biol Med Res.*,3: 1966-1970. 2012.
- [3] Memon MA, Diagnosis of Pregnancy and Infertility by Rectal Palpation: Bovine Obstetrics. DVCS Washington State University, Pullman, pp: 65- 68. 1996.
- [4] Al- Saffar, H.E. Biometry Of Normal Genital Organs In Iraq Female Buffalo. M.Sc. Thesis. College Of Vet. Med. Baghdad University., 28-32. 1998.
- [5] Baragoth, A. F. Morphometry and Histomorphological Study Of The Ovary Of Nulipara Buffalo (*Bubalus bubalis*) In Follicular Phase. *Wasit Journal For Science & Medicin.*,4: 255-264. 2014.
- [6] Campbell, B.K., Kendall, N.R. and Baird, D.T. The effect of the presence and pattern of luteinizing hormone stimulation on ovulatory follicle development in sheep. *Biol Reprod*, 76:719-727. 2007.
- [7] Chandrahasan,C. and Rajasekaran, J. (2004).Biometry of buffalo (*Bubalus bubalis*) ovaries in relation to different stages of the oestrous cycle. *Indian J. Anim. Reprod.*, 2: 87-90.
- [8] Kumar S. Ahmed FA and Bhadwal MS. Biometry of female genitalia of Murrah buffalo (*Bubalus bubalis*). *Indian J. Anim. Reprod.* 145 -143 (2) 25. 2004.
- [9] Arshad, H.M., Ahmad, N., Zia-Ur-Rahman, H., Samad, A., Akhtar, N. and Ali, S. Studies On Biochemical Constituents Of Ovarian Follicular Fluid And Peipheal Blood In Buffaloes .*Pakistan Vet.J.*,4:25-30 . 2005.
- [10] Duncan, D.B. Multiple Range and Multiple Test. *Biometrics*,11:1-42. 1955.
- [11] SAS. SAS / STAT Users Guide for Personal Computers. Release 7.0. SAS Institute Inc., Cary,NC., USA. (SAS=Statistical Analysis System). 2012.
- [12] Danell, B. Oestrus Behavior, Ovary Morphology And Cyclical Variation In Follicular System And Endocrine Pattern In Water Buffalo Heifers. Uppasala. Phd Thesis - Dept. Of Obs. Gyn., Faculty Of Vet. Med., Swedish Univ. Agri. Sci.,2: 124. 1987.
- [13] Khammas, D.J., Al-Saffar, H.E and Alwan ,A.F. Biometry Of Genital Organs in Iraqi Femal Buffalo . *Iraq Journal Of Veterinary Science.*, 1 : 77-81. 2005.
- [14] Hasanpoor, K., Moghadam ,M. A., Mamoei, M., Nasiri ,M.T.B. and Hasanpoor ,J. Investigation of right and left ovarys size and weight and comparison of serums concentration of glucose ,urea and cholesterol and different sized follicles in hybrid cow in khuzestan province.*International Journal of Science and Engineering Investigations*,2: 125-128. 2013.
- [15] Madan, M.L. Factors limiting super-ovulation response in embryo transfer programme among buffaloes. *Theriogenology* , 33: 280. 1990.
- [16] Rohilla, N., Singh,U., Sharma,R.K. and Singh,I. Ultrasonic ovarian status in summer anestrus postpartum Murrah buffaloes. *Indian J. Anim. Reprod.**Indian J. Anim. Reprod.*, 2: 95-98. 2005.
- [17] Awasthi, M.K., Khare, A., Kavani, F.S., Siddiquee, G.M., Panchal, M.T. and Shah, R.R. Is one-wave follicular growth during the estrous cycle a usual phenomenon in water buffaloes (*Bubalus bubalis*)? *Anim Reprod Sci.*, 92: 241–253. 2006.
- [18] Vale, W.G. and Ribeiro, H.F.L. Caracteristicas reprodutivas das bubeninos:puberdade, ciclo estral, involucrao uterina e atividade ovariana no pos-parto. *Rev.Bras. Reprod. Anim.*, 2: 63-73. 2005.
- [19] Carvalho,N.A.T., Gimenes,L.U., Reis,E.L., Cavalcante,A.K.S., Mello,J.E., Nichi,M., Nicacio, A.C., Nasser,L.F.T., Rezende,L.F.C., Wisnesck,C.A., Moura, C.E.B., Benedicto ,H.B., Bombonato, P.P.and Baruselli,P.S. Biometry of genital system from buffalo (Murrah) and bovine (Nelore) females. *Proceedings 9 World Buffalo Congres.Antomy and Fisiology.*, 4: 276-279. 2010.
- [20] Patal, D.V., Anil Kumar, R., Iyue,M. and Kasiraj ,R. Ultrasonographic biometry of the ovary and its responses puring superovalation in toda buffaloes. *Buffalo Bulletin.*,2 :67-72. 2009.
- [21] Mondal, S., Prakash, B.S. and Palta, P. Endocrine aspects of oestrous cycle in buffaloes (*Bubalus bubalis*): an overview. *Asian-australsJ. Anim. Sci.*, 20: 124-131. 2007.

- [22] Khan, F.A., Das, G.K., Pande, M., Sarkar M., Mahapatra, R.K. and Shankar, U. Alterations in follicular fluid estradiol, progesterone and insulin concentrations during ovarian acyclicity in water buffalo (*Bubalus bubalis*). *Anim. Reprod. Sd.*, 130: 27-32. 2012.
- [23] Perera, B.M.A.O. Reproduction in domestic buffalo. *Reprod. Dom. Anim.*, 43:200–206. 2008.
- [24] Sakhong, D., Vongpralub, T., Katawatin, S. and Sirisathien, S. Ovarian follicular patterns and hormone profile in Thai native cattle (*Bos indicus*). *Thai. J. Vet. Med.*, 41: 439- 447. 2011.
- [25] Naik, B.R., Siva, K.A.V.N., Bramhaiah, K.V., Ravi, A. and Praveen, C, V. Estrogen and progesterone hormone levels in Punganur cattle. *IOSR. J. Agric. Vet. Sci.*, 2: 50-53. 2013.
- [26] Pang, X.S., Wang, Z.Y., Zhu, T.G., Yin, D.Z., Zhang, Y.L., Meng, L. and Wang, F. Concentrations of progesterone and estradiol in peripheral plasma during the estrous cycle and after ovariectomy in Huanghuai goats of high or poor prolificacy. *Asian-australs J. Anm. Sci.*, 23:188-196. 2010.
- [27] Medan, M.S., Watanabe, G., Susaki, K., Sharawy, S., Groome, N.P. and Taya, K. Ovarian dynamics and their associations with peripheral concentrations of gonadotropins, ovarian steroids and inhibin during the oestrous cycle in goats. *Biol. Re- prod.*, 69:57-63. 2003.
- [28] Souza, C.J.H., Campbell ,B.K. and Baird ,D.T. Follicular waves and concentrations of steroids and inhibin A in ovarian venous blood during the luteal phase of the oestrous cycle in ewes with an ovarian autotransplant. *J. Endocrinol.*, 156:563-572. 1998.
- [29] Vittoria, A. Anatomy of the female genital tract in the buffalo. Proceedings of Third course on Biotechnology of Reproduction in Buffaloes, edited by *Bubalus bubalis* supplement to no. 4, Caserta, Italy, Caserta, Italy., 6: 15– 20. 1997.
- [30] Haldar, A. and Prakash, B.S. Peripheral patterns of growth hormone, luteinizing hormone, and progesterone before, at, and after puberty in buffalo heifer. *Endocr Res.*, 31: 295–306. 2005.
- [31] Ramoun, A.A., Darweish, S.A., Abou El-Ghait, H.A. and Fattouh, S.M.. Effect of enhancement of uterine involution and earlier initiation of post-partum cyclicity on the reproductive performance of buffalo. *Reprod Fertil Dev* 18, 545–550. 2006.
- [32] Das, G.K., Kamawat, B.L. and Khan, F.A. Ovarian follicular dynamics during estrus cycle and its aberrations during certain reproductive disorder in buffalos. *Theriogenology.*, 3: 37-46. 2013.
- [33] Palta, P., Bansal, N., Prakash., B.S., Manik, R.S. and Madan,M. L. Interrelationship between follicular size and follicular fluid estradiol 17- β , progesterone and testosterone concentrations in individual buffalo ovarian follicles. *Asian-Aust. J. Anim. Sci.*, 11:293-299. 1998.
- [34] Ginther, O.J., Bergfelt, D.R., Beg, M.A. and Kot, K. Follicle selection in cattle:role of luteinizing hormone. *Biol. Reprod.*, 64:197-205. 2001.
- [35] Tabatabaei, S. and Mamoei,M. Biochemical composition of blood plasma and follicular fluid in relation to follicular size in buffalo,. 5: 441-445. 2011.
- [36] Kara,L.B., Philippa,K.S., Saunders,J.M., Marie,L.M., Evan,R.S. and Jock,K.F. Estrogen Actions on follicle formation and development. *Biology of Reproduction.*, 5: 1712-1723. 2004.
- [37] Zieba, D.A., Murawski, M. and Wierzchos, E. Pattern of follicular development during the oestrous cycle of prolific Olkuska sheep. *Arch. Tierz. Duinmerstorf.*, 44: 203-212. 2001.
- [38] Samo, M.U., Dhanani ,J., Unar, A.M., Khangharani, S. and Kaka, I. Studies on uterine involution in Kundi buffalo. *Pak Vet J.*, 7:22-23. 1987.
- [39] Taneja, M., Ali, A. and Singh ,G. Ovarian follicular dynamics in water buffalo. *Theriogenology.*, 46: 121– 130. 1996.
- [40] Komar, C. M., Berndtson,A.K., Evans,A.C.O. and J. E. Fortune,J.E. Decline in circulating estradiol during the periovulatory period is correlated with decreases in estradiol rogen, in messenger RNA for P450 aromatase P450 17 α -hydroxylase, in bovine preovulatory follicles. *Biol. Reprod.*, 64: 1797-1805. 2001.
- [41] Campbell, B.K.,Souza, C.J., Skinner, A.J., Webb, R.and Baird, D.T. Enhanced response of granulose and theca cells from sheep carriers of the FecB mutation in vitro to gonadotropine and bone morphogenic protein -2,-4, and -6. *Endocrinology.*,147:1608-1620. 2006.